

Пахомова В.М.

Український державний університет науки і технологій

Квочка М.Ю.

Український державний університет науки і технологій

ВИЗНАЧЕННЯ МЕРЕЖЕВИХ АТАК КАТЕГОРІЇ PROBE ЗАСОБАМИ БАГАТОШАРОВОЇ НЕЙРОННОЇ МЕРЕЖІ

Для виявлення мережеских атак в режимі реального часу використовуються системи визначення вторгнень (Intrusion Detection System, IDS), в яких з'являється проблема великого обсягу мережевого трафіку і для вирішення якої доцільно використання нейромережної технології, що підтверджує актуальність теми. В роботі проведено дослідження наступних мережеских атак категорії PROBE: *Ipsweep*; *Nmap*; *Portswear*; *Satan* з використанням відкритої бази даних NSL-KDD засобами нейронної мережі конфігурації 41-1-X-5, що створена в середовищі MatLAB за допомогою додатку Toolbox, а також визначення її оптимальних параметрів та оцінювання параметрів якості виявлення мережеских атак категорії PROBE на створеній нейронній мережі. Проведено дослідження середньоквадратичної похибки створеної нейронної мережі при різній кількості прихованих нейронів (20, 40, 60 та 80) за різними алгоритмами навчання (Levenberg-Marquardt, Bayesian regularization та Scaled Conjugate Gradient) на вибірках різної довжини (250, 750 та 1500 прикладів). Визначено, що найменше значення похибки створеної нейронної мережі досягнуто при 60 прихованих нейронів за алгоритмом навчання Levenberg-Marquardt на вибірці із 1500 прикладів. Виконано оцінювання параметрів якості виявлення мережеских атак категорії PROBE на створеній нейронній мережі. Визначено, що значення помилки першого та другого роду склали 6,67 % та 5,33 % відповідно.

Ключові слова: атака, мережеский клас, PROBE, прихований нейрон, довжина вибірки, алгоритм навчання, похибка, оцінка якості.

Постановка проблеми. Створення ефективної системи виявлення мережеских атак вимагає застосування якісно нових підходів до обробки інформації, які повинні ґрунтуватися на адаптивних алгоритмах здатних до самонавчання. Найбільш перспективним напрямком у створенні подібних систем виявлення мережеских атак є застосування нейромережної технології.

Аналіз останніх досліджень і публікацій. Відомо, що для виявлення мережеских атак доцільно використання нейромережної технології [2–10, 12], зокрема багатошарового перцептрон (Multi Layer Perceptron, MLP) [2, 12], самоорганізуючої карти Кохонена (Self Organizing Map, SOM) [3, 9], радіально-базисної мережі (Radial Basis Function Network, RBF) [5, 7], а також нейронечіткої мережі (Adaptive-Network-Based Fuzzy Inference System, ANFIS) [4, 7]. На сьогодні відомо, що різні НМ, в основі яких різні математичні апарати, можуть по різному визначати різні атаки на комп'ютерну мережу. Однак, разом з тим важливим недоліком таких методик є відсутність універсальності їх застосування при визначенні мережеских атак різних категорій: DoS; PROBE;

R2L; U2R, серед яких найбільша кількість досліджень стосовно категорії DoS [5–6]. Для виявлення мережеских атак категорії PROBE авторами був використаний SOM в [3] та нейронечітка мережа в [4], але відомо, що властивості MLP дозволяють його також використати для виявлення мережеских атак цієї категорії, однак це потребує проведення додаткового дослідження стосовно оптимальних параметрів MLP (кількості прихованих нейронів, довжини вибірки та алгоритму навчання).

Формулювання цілей статті. Проведені дослідження ставили за мету розвиток методики виявлення мережеских атак категорії PROBE. Для досягнення поставленої мети вирішувалися наступні задачі: розробити методику виявлення мережеских атак засобами багатошарової нейронної мережі (НМ); при виконанні машинного навчання виявити оптимальні параметри НМ, що забезпечить достатньо високий рівень достовірності виявлення вторгнень в комп'ютерну мережу; оцінити помилки першого та другого роду при виявленні мережеских атак на створеній НМ.

Виклад основного матеріалу дослідження. Мережева категорія PROBE представляє одну

з чотирьох категорій атак, що спрямована на сканування портів з метою отримання конфіденційної інформації. Основні мережеві класи атак категорії PROBE: Ipsweep (атака полягає у скануванні мережевого простору з метою виявлення активних хостів); Nmap (атака використовується для сканування портів хостів з метою виявлення відкритих портів та отримання інформації про сервіси, які запущені на цих портах); Portswpeer (атака полягає у скануванні портів на окремому хості з метою виявлення відкритих портів та отримання інформації про сервіси, які запущені на цих портах); Satan (збір детальної інформації про систему та виявлення вразливостей, які можна використати для злому). У якості початкових даних використана відкрита база даних NSL-KDD [11]. У якості методу дослідження використано MLP, структура якого подана на рис. 1.

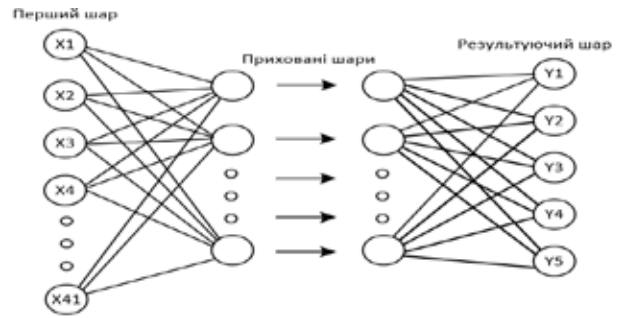


Рис. 1. Структура багатошарового перцептрону

Перший шар НМ має X1...X41 нейрони (це параметри мережевого трафіку), що зведені до таблиці 1. Результуючий шар має наступні нейрони: Y1 – Normal (нормальний стан: відсутність атаки на комп'ютерну мережу); Y2 – атака класу Nmap; Y3 – атака класу Satan; Y4 – атака класу Ipsweep; Y5 – атака класу Portswpeer.

Таблиця 1

Перелік нейронів першого шару НМ

Нейрон	Назва	Опис
X1	duration	тривалість з'єднання
X2	protocol_type	тип протоколу
X3	service	сервіс, який використовується в з'єднанні
X4	flag	прапорець, що вказує статус пакета
X5	src_bytes	кількість байтів відправлених від джерела до призначення
X6	dst_bytes	кількість байтів відправлених від призначення до джерела
X7	land	вказує, чи є з'єднання land-атакою (1 – так, 0 – ні)
X8	wrong_fragment	кількість неправильних фрагментів
X9	urgent	кількість, пакетів з високим пріоритетом
X10	hot	кількість «гарячих» (часто відвідуваних) пунктів призначення
X11	num_failed_logins	кількість неуспішних спроб входу
X12	logged_in	прапорець, що показує, чи було виконано вхід в систему
X13	num_compromised	кількість компрометованих систем, пов'язаних з пакетом
X14	root_shell	вказує, чи було встановлено root shell
X15	su_attempted	прапорець, що показує, чи була спроба використання команди підняття привілеїв
X16	num_root	кількість команд від root
X17	num_file_creations	кількість створених файлів
X18	num_shells	кількість оболонок, виконаних під час сеансу
X19	num_access_files	кількість файлів з доступом
X20	num_outbound_cmds	кількість вихідних команд
X21	is_host_login	прапорець, що показує, чи було виконано вхід як хост
X22	is_guest_login	прапорець, що показує, чи було виконано вхід як гість
X23	count	кількість з'єднань до хоста за останню секунду
X24	srv_count	кількість з'єднань до одного сервісу за останню секунду
X25	error_rate	частота з'єднань з помилками (сервісні помилки)
X26	srv_error_rate	частота з'єднань до одного сервісу з помилками (сервісні помилки)
X27	error_rate	частота з'єднань з помилками (системні помилки)
X28	srv_error_rate	частота з'єднань до одного сервісу з помилками (системні помилки)
X29	same_srv_rate	частота з'єднань до одного сервісу з однаковим типом сервісу
X30	diff_srv_rate	частота з'єднань до різних сервісів

Нейрон	Назва	Опис
X31	srv_diff_host_rate	частота з'єднань до різних хостів для одного сервісу
X32	dst_host_count	кількість унікальних хостів, на які відбулися зєднання
X33	dst_host_srv_count	кількість унікальних хостів, на які відбулися зєднання до одного сервісу
X34	dst_host_same_srv_rate	частота зєднань до одного сервісу на одному хості
X35	dst_host_diff_srv_rate	частота з'єднань до різних сервісів на одному хості
X36	dst_host_same_src_port_rate	частота з'єднань з одного порту джерела до одного порту призначення,
X37	dst_host_srv_diff_host_rate	частота з'єднань до різних хостів для одного сервісу на одному хості
X38	dst_host_serror_rate	частота з'єднань до одного хосту з помилками (сервісні помилки)
X39	dst_host_srv_serror_rate	частота з'єднань до одного сервісу на одному хосту з помилками (сервісні помилки)
X40	dst_host_rerror_rate	частота з'єднань до одного хосту з помилками (системні помилки)
X41	dst_host_srv_rerror_rate	частота з'єднань до одного сервісу на одному хосту з помилками (системні помилки)

Таблиця 2

Фрагмент вибірки (для нейронів першого шару)

X1	X2	X3	X4	X5	X6	X7	X8	X9	X10	
0	2	1	1	8	0	0	0	0	0	
0	1	2	2	0	0	0	0	0	0	
0	2	1	1	8	0	0	0	0	0	
X11	X12	X13	X14	X15	X16	X17	X18	X19	X20	
0	0	0	0	0	0	0	0	0	0	
0	0	0	0	0	0	0	0	0	0	
0	0	0	0	0	0	0	0	0	0	
X21	X22	X23	X24	X25	X26	X27	X28	X29	X30	
0	0	1	26	0	0	0	0	1	0	
0	0	365	1	0,1	0	0,9	1	0	1	
0	0	1	41	0	0	0	0	1	0	
X31	X32	X33	X34	X35	X36	X37	X38	X39	X40	X41
1	3	115	1	0	1	0,3	0	0	0	0
0	255	1	0	1	0	0	0,1	0	0,9	1
1	2	106	1	0	1	0,5	0	0	0	0

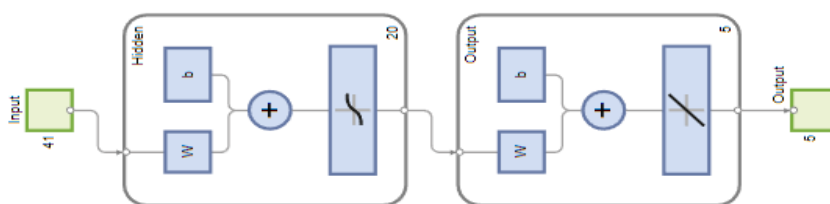


Рис. 2. Структура створеної НМ в MatLAB

Формування вибірки. На основі відкритої бази даних NSL-KDD складено вибірку із 250 прикладів (по 50 прикладів на кожний мережевий клас), фрагмент якої представлено в таблиці 2 у якості прикладу.

Створення НМ. За допомогою пакета Toolbox в MatLAB створено НМ конфігурації 41-1-20-5 [1], де 41 – кількість нейронів першого шару (пара-

метри мережевого трафіку), 1 – кількість прихованих шарів, 20 – кількість прихованих нейронів, 5 – кількість результуючих нейронів; у якості функції активації прихованого шару взято гіперболічний тангенс, на результуючому шарі – лінійна функція. Створено в MatLAB НМ, структуру якої відображено на рис. 2; отримані результати

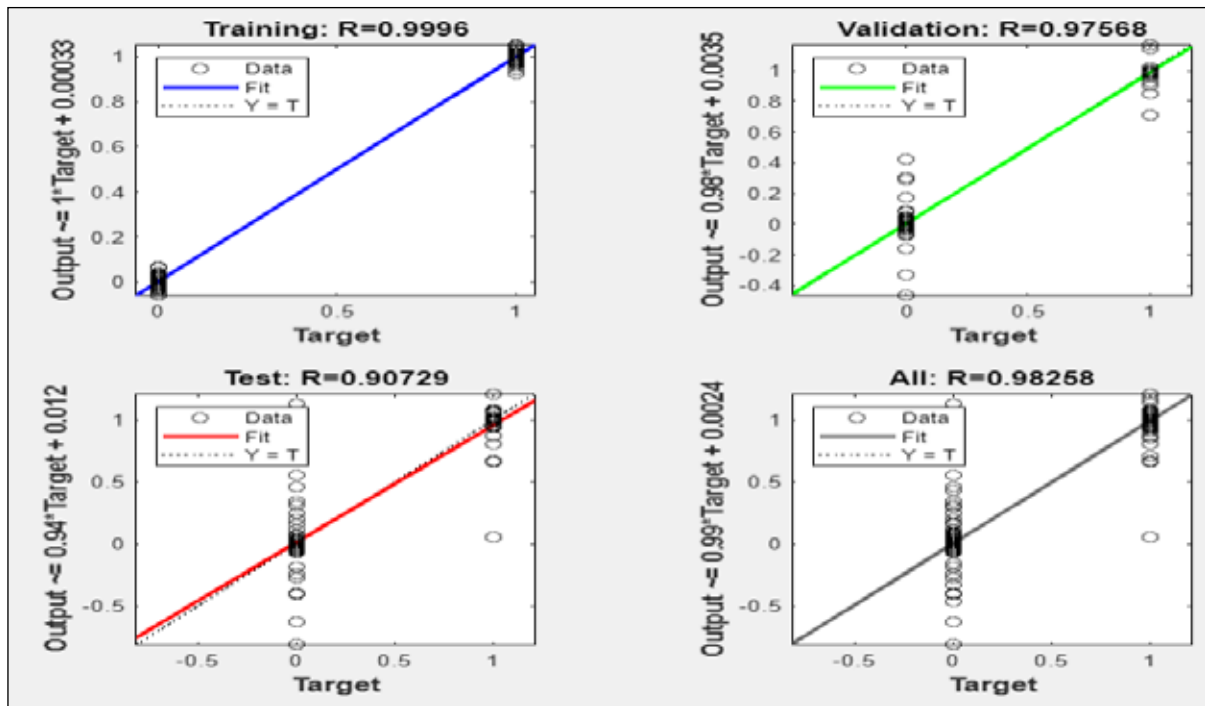


Рис. 3. Отримані результати на НМ конфігурації 41-1-20-5

(значення регресії) на створеній НМ показано на рис. 3.

Визначення оптимальних параметрів НМ. На створеній НМ проведено дослідження похибки (Mean Square Error, MSE) при різній кількості прихованих нейронів (20, 40, 60 та 80) за наступними алгоритмами навчання НМ: Levenberg-Marquardt; Bayesian regularization; Scaled Conjugate Gradient) на вибірках різної довжини (250, 750 та 1500 прикладів). Визначено, що найменше значення похибки НМ склало 0,0071 при 60 прихованих нейронів за алгоритмом навчання Levenberg-Marquardt на вибірці із 1500 прикладів (по 300 прикладів на кожному мережевий клас).

Оцінка параметрів якості. На створеній НМ конфігурації 41-1-60-5 при визначених оптимальних параметрах отримані наступні результати: TP (True Positive); FP (False Positive); FN (False Negative); TN (True Negative).

Помилка першого роду – це кількість невірно виявлених атак (FP, False Positive), а помилка другого роду – це кількість пропусків атак (FN, False Negative); обчислені значення помилок першого та другого роду відповідно до мережевого класу атак категорії PROBE зведені до таблиці 4.

Із таблиці 4 видно, що на створеній НМ найкраще визначаються атаки мережевих класів Ipsweep та Portsweep.

Таблиця 3

Отримані значення похибки НМ конфігурації 41-1-X-5

Кількість прихованих нейронів	Кількість прикладів	Алгоритм навчання	MSE
20	250	Levenberg-Marquardt	0,0312
20	750	Levenberg-Marquardt	0,0262
20	1500	Levenberg-Marquardt	0,0114
40	1500	Levenberg-Marquardt	0,0074
60	1500	Levenberg-Marquardt	0,0071
80	1500	Levenberg-Marquardt	0,0158
60	1500	Bayesian regularization	0,0277
60	1500	Scaled Conjugate Gradient	0,0172

Таблиця 4

Помилка першого та другого роду на НМ конфігурації 41-1-60-5

Мережевий клас атаки	Кількість неправильно виявлених атак	Кількість пропусків атак
Normal	30 з 300	30 з 300
Nmap	30 з 300	30 з 300
Satan	40 з 300	20 з 300
Ipsweep	0 з 300	0 з 300
Portsweep	0 з 300	0 з 300
Усього:	100 з 1500	80 з 1500

Крім того, проведено розрахунок деяких інших параметрів якості. TPR (True Positive Rate) пред-

ставляє відношення правильно виявлених позитивних екземплярів (TP) до загальної кількості позитивних екземплярів (TP + FN). FPR (False Positive Rate) визначається як відношення кількості неправильно виявлених позитивних екземплярів (FP) до загальної кількості негативних екземплярів (FP + TN). Accuracy визначається як відношення загальної кількості правильно класифікованих екземплярів (TP + TN) до загальної кількості екземплярів (TP + TN + FP + FN). Precision визначається як відношення кількості правильно виявлених позитивних екземплярів (TP) до загальної кількості позитивно виявлених екземплярів (TP + FP). Recall визначається як відношення кількості правильно виявлених позитивних екземплярів (TP) до загальної кількості позитивних екземплярів (TP + FN). Обчислені значення параметрів якості зведені до таблиці 5.

Таблиця 5

Показники оцінки якості виявлення атак на НМ конфігурації 41-1-60-5

TP	FP	FN	TN	TPR	FPR	Accuracy	Precision	Recall
1300	100	80	20	0,94	0,83	0,9	0,93	0,94

Із таблиці 5 видно, що при виявленні мережових атак категорії PROBE на створеній НМ значення помилки першого та другого роду склали 6,67 % та 5,33 % відповідно.

Практична значимість. У [3] найменшу точність показала самоорганізуюча карта Кохонена при виявленні атак мережового класу Nmap; одночасне використання створеної нейронної мережі, а також нейронечіткої мережі для визначення ступеню здійснення атаки категорії PROBE [4] та

самоорганізуючої карти Кохонена для виявлення мережового класу категорії PROBE [3] дозволить підвищити точність виявлення атак цього класу при використанні комбінованого варіанту.

Висновки. Для виявлення наступних мережових класів атак категорії PROBE: Nmap; Satan; Portsweep; Ipsweep запропоновано нейронну мережу конфігурації 41-1-X-5, де 41 – кількість нейронів першого шару (параметри мережового трафіку); 1 – кількість прихованих шарів; X – кількість прихованих нейронів; 5 – кількість результуючих нейронів (1 – наявність втки, 0 – її відсутність). В системі MatLAB за допомогою додатку Toolbox створено нейронну мережу конфігурації 41-1-20-5, у якості функції активації нейронів на прихованому шарі якої взято гіперболічний тангенс, на результуючому шарі - лінійну функцію. Визначено, що значення похибки нейронної мережі склало приблизно 0,03 за алгоритмом навчання Levenberg-Marquardt на вибірці із 250 прикладів (по 50 прикладів на кожний мережовий клас категорії PROBE). На створеній нейронній мережі проведено дослідження похибки при різній кількості прихованих нейронів (20, 40, 60 та 80) за різними алгоритмами навчання (Levenberg-Marquardt, Bayesian regularization та Scaled Conjugate Gradient) на вибірках різної довжини (250, 750 та 1500 прикладів). Визначені оптимальні параметри створеної нейронної мережі, на якій виконано оцінювання якості виявлення мережових атак категорії PROBE: помилка першого роду склала 6,67 %, а помилка другого роду – 5,33 %. На створеній нейронній мережі найкраще визначаються атаки мережових класів Ipsweep та Portsweep.

Список літератури:

1. Квочка М. Ю. Виявлення мережових атак категорії PROBE з використанням нейромережової технології : дипломна робота на здобуття кваліфікаційного ступеня бакалавра : спец. 125 – кібербезпека / наук. керівник В. М. Пахомова; *Укр. держ. ун-т науки і технологій*. Дніпро, 2023.
2. Пахомова В. М., Коннов М. С. Дослідження двох підходів до виявлення мережних атак із використанням нейромережової технології. *Наука та прогрес транспорту*. 2020. № 3(87). С. 81-93. URL: <https://doi.org/10.15802/stp2020/208233>.
3. Пахомова В. М., Павленко І. І. Дослідження параметрів якості визначення мережових атак категорії PROBE з використанням самоорганізуючої карти. *SworldJournal*. 2022. Issue 11. Part 1. pp. 100-104. DOI: 10.30888/2663-5712.2022-11-01-022.
4. Пахомова В. М., Маслак А. В. Визначення атак категорії Probe з використанням бази даних KDDCup99 та нейронечіткої технології. *Вчені записки Таврійського національного університету імені В.І. Вернадського. Серія: Технічні науки*, 2022. Том 33(72). № 5. 135-140.
5. Пахомова В. М., Мотиленко В. А. Дослідження можливості використання RBF для визначення Smurf атак на основі бази даних KDDCup. *Вчені записки Таврійського національного університету імені В.І. Вернадського. Серія: Технічні науки*. 2022. Т. 33 (72), № 6. С. 115–121. DOI: 10.32782/2663-5941/2022.6/20.
6. Alguliyev R. M., Aliguliyev R. M., Imamverdiyev Y. N., Sukhostat L. V. An improved ensemble approach for DoS attacks detection. *Радіоелектроніка, інформатика, управління*. 2018. № 2. С. 73-82. DOI: 10.15588/1607-3274-2018-2-8.

7. Amini M., Rezaeenour J., Hadavandi E. A Neural Network Ensemble Classifier for Effective Intrusion Detection using Fuzzy Clustering and Radial Basis Function Networks. *International Journal on Artificial Intelligence Tools*. 2016. Vol. 25. Iss. 02. P. 1–32. DOI: <https://doi.org/10.1142/s0218213015500335>.
8. Esteban J. A New GHSOM Model applied to network security. *Artificial Neural Networks-ICANN 2008*. 2008. P. 680-689.
9. Grill M., Pevny T., Rehak M. Reducing false positives of network anomaly detection by local adaptive multivariate smoothing. *Journal of Computer and System Sciences*. 2017. 83 (1). pp. 43-57. URL: <https://doi.org/10.1016/j.jcss.2016.03.007>.
10. Hadi A. A. A. Performance Analysis of Big Data Intrusion Detection System over Random Forest Algorithm. *International Journal of Applied Engineering Research*. 2018. Vol. 13, No. 2. P. 1520-1527.
11. NSL-KDD dataset. UNB: веб-сайт. URL: <https://www.unb.ca/cic/datasets/nsl.html> (дата звернення: 05.05.2023).
12. Zhukovyts'kyi I. V., Pakhomova V. M. Identifying threats in computer network based on multilayer neural network. *Наука та прогрес транспорту*. 2018. № 2 (74). P. 114-123. DOI: <https://doi.org/10.15802/stp2018/130797>.

Pakhomova V.M., Kvochka M.Yu. DEFINITION OF NETWORK ATTACKS OF PROBE CATEGORY BY MEANS OF MULTILAYER NEURAL NETWORK

To detect network attacks in real time, intrusion detection systems (Intrusion Detection System, IDS) are used, in which the problem of a large volume of network traffic appears and for solving which it is advisable to use neural network technology, which confirms the relevance of the topic. The following network attacks of PROBE category are investigated: Ipsweep; Nmap; Portsweep; Satan using the open NSL-KDD database by means of the 41-1-X-5 neural network configuration, created in the MatLAB environment using the Toolbox application, as well as determining its optimal parameters and evaluating the quality parameters for detecting network attacks of the PROBE category on the created neural network. The study of the RMS error of the created neural network with different number of hidden neurons (20, 40, 60 and 80) according to different learning algorithms (Levenberg-Marquardt, Bayesian regularization and Scaled Conjugate Gradient) on samples of different lengths (250, 750 and 1500 examples) is carried out. It is determined that the smallest value of the error of the created neural network was achieved with 60 hidden neurons according to the Levenberg-Marquardt learning algorithm on a sample of 1500 examples. The quality parameters of detection of network attacks of PROBE category on the created neural network are evaluated. It was determined that the values of the error of the first and second kind were 6.67 % and 5.33 %, respectively.

Key words: attack, network class, PROBE, hidden neuron, sample length, learning algorithm, error, quality assessment.